

Original Article

Comparison of Tissue Damages Resulting from Chronic Administration of Manganese Dioxide Nano- and Microparticles on the Liver, Kidneys and Testes of Rats

Sedigeh Ghaedi¹, Majid Hassanpour-Ezatti^{2*}, Tahereh Naji³, Mohammad Safi Rahmanifar²

1- M.Sc. Department of Toxicology & Pharmacology, Pharmaceutical Sciences Branch, Islamic Azad University, Tehran, Iran

2- Assistant Professor, Department of Biology, Faculty of Basic Sciences, Shahed University, Tehran, Iran

3- Assistant Professor, Department of Toxicology & Pharmacology, Pharmaceutical Sciences Branch, Islamic Azad University, Tehran, Iran

*Corresponding Address: P.O.Code: 3319118651, Department of Biology, Faculty of Basic Sciences, Shahed University, Opposite of Holy Shrine of Imam Khomeini, Khalij Fars Expressway, Tehran, Iran
Email: Hassanpour@shahed.ac.ir

Received: 02/Dec/2013, Accepted: 11/Jan/2014

Abstract

Objective: This study investigated tissue damages induced by chronic subcutaneous administration of nano- and microparticles of manganese dioxide (MnO_2) on the liver, kidneys and testes of rats.

Methods: Rats (n=210) were divided into three groups: control, MnO_2 nanoparticle injected and MnO_2 microparticle injected. The experimental groups received subcutaneous injections with either nano- or microparticles of a solution that contained MnO_2 (100 $\mu g/kg$) once per two weeks for 14 weeks. Once every two weeks, we randomly selected five rats from each group for histological evaluations of the liver, kidneys, and testes. Tissue lesions were initially evaluated by hematoxylin and eosin staining, then kidney and liver tissue sections were stained by the Jones and Masson's trichrome methods, respectively. The changes in diameter of basement membrane and cell numbers of the various parts of the nephrons in different groups were measured by Image Tools version 2 software.

Results: The liver tissues of the nano- and microparticle groups exhibited severe damage histopathologically. Cloudy swelling was observed in the cytoplasm of hepatocytes. The liver tissue and its canalicular structures were severely damaged. Inflammation and ductular reaction signs were seen in liver tissue. Deposition of particles in the basement membrane of the nephrons were observed in the nanoparticle-treated group. There was a significant reduction in glomerular and tubular cells in the nanoparticle-treated group compared to the control and microparticle-treated groups. Some of the structural and functional parameters of the testes in the nanoparticle-treated group had significant pathobiological variations.

Conclusion: Administration of MnO_2 nanoparticles when compared with the same dose of MnO_2 microparticles caused more tissue damage in all examined tissues. Reduction in particle size from micrometer to nanometer appeared to exacerbate the damaging mechanisms of these particles in the examined tissues.

Keywords: Nanoparticles, Microparticles, Manganese dioxide, Tissue injuries

Modares Journal of Medical Sciences: Pathobiology, Vol 16, No 4, Winter 2014, Pages: 67-81

مقایسه آسیب‌های بافتی حاصل از تجویز مزمن نانو و میکرو ذره دی اکسید منگنز بر بافت‌های کبد، کلیه و بیضه موش‌های بزرگ

صدیقه قائدی^۱، مجید حسن پور عزی^{۲*}، طاهره ناجی^۳، محمدصفی رحمانی فر^۴

۱- دانش آموخته کارشناسی ارشد، گروه سمتاناسی، واحد علوم دارویی، دانشگاه آزاد اسلامی، تهران، ایران

۲- استادیار، گروه زیست‌شناسی، دانشکده علوم پایه، دانشگاه شاهد، تهران، ایران

۳- استادیار، دانشکده علوم دارویی، دانشگاه آزاد اسلامی، تهران، ایران

*آدرس نویسنده مسئول: ایران، تهران، کد پستی: ۱۹۱۸۶۵۱-۳۳۱۹۱۱۹۳؛ پایه، گروه زیست‌شناسی
Email: Hassanpour@shahed.ac.ir

پذیرش مقاله: ۹۲/۱۰/۲۱

دریافت مقاله: ۹۲/۰۹/۱۱

چکیده

هدف: این پژوهش به بررسی آسیب‌های بافتی ناشی از تجویز زیرجلدی مزمن میکرو و نانو ذره اکسید منگنز بر بافت‌های کبد، کلیه و بیضه موش‌های بزرگ پرداخته است.

مواد و روش‌ها: موش‌ها (۲۰ سر) به سه گروه کنترل، دریافت کننده نانو و میکرو ذره اکسید منگنز تقسیم شدند. موش‌ها در گروه‌های تجربی، هر دو هفته یکباره به مدت ۱۴ هفته به صورت زیرجلدی محلول حاوی نانو یا میکروذرات دی اکسید منگنز (۱۰۰ میکروگرم/کیلوگرم) را دریافت کردند. تعداد ۵ سر موش از هر گروه به طور تصادفی هر دو هفته انتخاب و بافت‌های کبد، کلیه و بیضه آن‌ها برای بررسی بافت‌شناسی جمع‌آوری شد. ابتدا آسیب‌های بافتی توسط رنگ‌آمیزی هماتوکسیلین-اثوزین ارزیابی شد، سپس برش‌های بافت کلیه و کبد به ترتیب توسط رنگ‌آمیزی جونز و تری کروم ماسون رنگ‌آمیزی شدند. تغییر در ضحامت غشاء پایه و تعداد سلول‌های بخش‌های مختلف نفرون‌های کلیه در گروه‌های مختلف توسط نرم‌افزار Image Tools اندازه‌گیری شد.

نتایج: بافت کبدی در گروه‌های نانو و میکرو ذره از نظر بافت‌شناسی آسیب‌های شدیدی را نشان داد. توده‌های ابری شکلی در درون سیتوپلاسم سلول‌های کبدی مشاهده شدند. ساختار بافتی و مجاری صفوراوی کبد دچار به هم ریختگی شدید شدند و علایم التهاب و واکنش مجاری در بافت کبدی مشاهده شد. رسوب ذرات در غشاء پایه نفرون‌ها و کاهش معنی دار در سلول‌های گلومرول‌ها و لوله خمیده نزدیک نفرون‌ها در گروه نانو ذرات در مقایسه با کنترل و میکرو ذرات مشاهده شد. برخی معیارهای ساختاری و عملکردی بافت بیضه در گروه دریافت کننده نانو ذرات تغییرات پاتوبیولوژیکی معنی داری را نشان دادند.

نتیجه‌گیری: تجویز نانو ذرات دی اکسید منگنز در مقایسه با میکرو ذرات با یک دوز ثابت سبب بروز آسیب‌های بافتی شدیدتری در بافت‌های مورد بررسی شدند. کاهش اندازه ذرات اکسید منگنز از حد میکرومتر به نانومتر به نظر می‌رسد که سبب تشدید مکانیسم‌های آسیب‌رسان این ذرات بر بافت‌های مورد بررسی شده است.

کلیدواژگان: نانو ذره، میکرو ذره، دی اکسید منگنز، آسیب‌های بافتی

————— مجله علوم پزشکی مدرس: آسیب‌شناسی زیستی، دوره ۱۶، شماره ۴، زمستان ۱۳۹۲، صفحات: ۶۷-۸۱

آسیب‌های بافتی و نانوذرات اکسید منگنز

است، ولی در این ارتباط می‌توان به بررسی آسیب‌های ناشی از مصرف خوراکی نانو ذرات مس بر لوله خمیده نزدیک نفرون‌ها [۹] یا گلومرونفریت و تخریب لوله خمیده نزدیک به دنبال مصرف خوراکی نانوذرات تیتانیوم دی اکسید (Titanium Dioxide) اشاره کرد [۱۰]. همچنین مشخص شده که آسیب کبدی ناشی از نانو ذرات طلا وابسته به عوامل مختلفی چون غلظت، مدت تماس و به خصوص اندازه این ذرات است [۱۱]. مستنداتی در ارتباط با آسیب‌های واردہ به بافت بیضه ناشی از تماس با نانو ذرات فلزی و از این طریق بر فعالیت تولید مثلی موجودات زنده در دست است. برای مثال، آثار دو اندازه مختلف نانو و میکرو ذره اکسید سریوم (Cerium Oxide) بر فرآیند تولید اسیرم در موش بزرگ مطالعه شده است [۱۲]. اما در ارتباط با آثار آسیب بافتی به دنبال تماس با اکسید منگنز و به عنوان پیش‌زمینه‌ای از تحقیق حاضر می‌توان به گزارش هابسلند (Hobbesland) و همکاران اشاره کرد. این پژوهشگر بر اساس آزمایش‌هایی که روی کارگران معادن منگنز انجام داد، مدعی شده است که به دلیل بالا بودن سطح اکسید منگنز در این معادن و تماس طولانی مدت کارگران با آن، عوارض ناخواسته‌ای چون سرطان کبد و مشکلات ادراری و تناسلی در این کارگران بروز کرده است [۱۳]. این نتایج منجر به این امر شد تا دانشمندان به کارفرمایان این معادن توصیه کنند تا زمان کاری این کارگران را کاهش دهند [۱۴]. گرچه اطلاعات آزمایشگاهی قبلی از بررسی آثار اکسید منگنز بر عملکرد دستگاه تناسلی نر در حیوانات در دست نیست، ولی تاکنون یافته‌های محدودی بر بروز آسیب بر ساختارهای تناسلی نرینه به دنبال تماس با دیگر نانو ساختارها منتشر شده‌است [۱۵-۱۷]. به عنوان ضرورت انجام مطالعات بافت‌شناسی علاوه بر دیگر مطالعات بالینی در ارتباط با آثار نانو ذرات بر بافت‌های در تماس با این ذرات باید به این یافته اشاره شود که برخی از نانو ذرات مانند اکسید تیتانیوم با وجود اثر بر هورمون گنادوتropیینی و ایجاد اختلال در فرآیندهای تولید هورمون‌های جنسی فاقد آثار مستقیم بر بافت بیضوی و سلول‌های تولید مثلی

مقدمه

اکسید منگنز (MnO_2) ترکیبی با مصارف روزافزون در صنعت است و در تولید غربال مولکولی، به عنوان کاتالیزور قوی در واکنش‌های شیمیایی و به عنوان ماده اولیه تولید الکترود باتری‌ها استفاده می‌شود. این ترکیب همچنین در حال حاضر در ساخت انواع فناوری‌های نانو مانند نانو بلورهای نیمه هادی و نانو ساختارهای سه بعدی مصنوعی کاربرد دارد [۱]. این اکسید فلزی در قارچ‌کش‌های کشاورزی و در ترکیب ماده حاجب مورد مصرف بیماران در تصویربرداری رزونانس مغناطیسی (Magnetic Resonance Imaging) نیز استفاده می‌شود. با توجه به این که ترکیبات دارای عناصر فلزی نقش مهمی در ایجاد مسمومیت‌ها ایفا می‌کند، ارزیابی آسیب ناشی از تماس مزمن با اکسید منگنز بر بافت‌های مختلف می‌تواند اهمیت فراوانی در تشخیص عوارض و شناسایی آسیب‌های بافتی ناشی از تماس با این ترکیب داشته باشد [۲]. ویژگی‌های خاص نانو ذرات فلزی ناشی از ابعاد کوچک آن‌ها، افزایش سطح به حجم آن‌ها و تقویت توان آن‌ها در واکنش‌های شیمیایی سبب شده تا استفاده از آن‌ها به عنوان کاتالیزور، کاربرد صنعتی روزافزونی یابد [۳]. برخی از نانو ذرات در هر دو شرایط برونتی [۴] و درونتنی [۵] از خود آثار سمی نشان می‌دهند، این در حالی است که برخی دیگر فقط در ابعاد نانو دارای آثار سمی بوده و در ابعاد میکرو فاقد اثر سمی هستند. نانوذرات به هر روشی که تجویز شوند به دنبال ورود به گردش خون در نهایت به بافت کبدی می‌رسند و در آن تجمع می‌یابند [۶]. بافت کلیوی به دلیل دارا بودن جریان خون بالا یکی دیگر از بافت‌های تجمع نانو ذرات در بدن محسوب شده و نشان داده شده که بین اندازه نانوذرات و میزان توزیع و تجمع این ذرات در این بافت رابطه مستقیم وجود دارد [۷]. بدین ترتیب بافت کلیوی و کبدی به عنوان بافت‌های اصلی تجمع و در معرض خطر آسیب‌های نانو ذرات به دنبال ورود این ذرات به بدن محسوب می‌شوند [۸]. گرچه یافته‌های مبنی بر آثار آسیب‌رسان نانو ذرات فلزی بر عملکرد کلیوی محدود

آسیب‌رسان مختلف این ذرات انتخاب شده است و اثر بیوشیمیایی و سمیت عصبی تجویز این دوز قبلاً به اثبات رسیده است [۲۴، ۲۵]. نمونه‌های بافت‌های کبدی، کلیوی و بیضه موش‌ها هر دو هفته یکبار تهیه و پس از رنگ‌آمیزی E & H ارزیابی شدند. در ادامه نمونه‌های بافت کلیوی توسط روش جونز و بافت کبدی توسط روش تری کروم ماسون رنگ‌آمیزی و بررسی شدند.

مواد و روش‌ها

حیوانات

موش‌های بزرگ نر (۲۰۰-۲۵۰ گرم) تهیه شده از مرکز پژوهش حیوانات دانشگاه علوم پزشکی تهران به ۵ گروه تایی (کترل، دریافت کننده میکرو ذره و دریافت کننده نانو ذره اکسید منگنز) تقسیم شدند. این موش‌ها در شرایط کنترل شده درجه حرارت، رطوبت، نور ۱۲ ساعت روشنایی و ۱۲ ساعت تاریکی با دسترسی آزاد به آب و غذای کامل نگهداری شدند. تمامی موش‌ها به مدت ۲ هفته قبل از شروع آزمایش‌ها در قفس‌های نگهداری حیوانات در شرایط یکسان محیطی نگهداری شدند تا از نظر تطابق، آشنایی و رژیم غذایی به محیط عادت نمایند. تمامی آزمایش‌های حیوانی مطابق قوانین کمیته اخلاقی دانشگاه انجام شدند.

ذرات اکسید منگنز

میکرو ذره اکسید منگنز با خلوص بالا از شرکت Merck آلمان خریداری شد. ابعاد میکرو ذره اکسید منگنز مورد استفاده در این پژوهش ۳ میکرومتر بود [۲۶]. نانو ذرات اکسید منگنز به روش هیدرودرمال (Hydrothermal Procedure) با کمی تغییرات و با استفاده از همین ذرات میکرو اکسید منگنز در گروه زیست‌شناسی دانشگاه شاهد سنتز شد. این ذرات دارای

ارزیابی شده است [۱۸]. بنا بر این بررسی آسیب‌های بافتی ناشی از تماس با نانو ذرات می‌تواند تصویر کامل‌تری از تمامی اختلالات ناشی از تماس با یک نانو ذره را فراهم آورد. امسروزه رنگ‌آمیزی‌های مختلفی برای ارزیابی آثار نانو ذرات بر بافت کبدی [۱۹]، کلیوی و بیضه [۲۰] به کار گرفته می‌شوند که از این میان رنگ‌آمیزی هماتوکسیلین-اٹوزین (Hematoxylin-Eosin: H & E) با موفقیت توانسته است موارد تأیید کننده خوبی از آثار آسیب‌رسان این نانو ذرات بر بافت‌های بدن را مشخص کند. رنگ‌آمیزی جونز (Jones' Staining) نیز یک رنگ‌آمیزی تخصصی در ارزیابی دقیق آثار نانو ذرات فلزی بر کلیه‌ها است [۲۱]. این رنگ‌آمیزی امکان بررسی آسیب‌های وارد به غشاء پایه در ناحیه مویرگ‌های گلومرولی را فراهم می‌آورد. رنگ‌آمیزی تری کروم ماسون (Masson's Trichrome Stain) روش تخصصی ارزیابی آسیب‌های ناشی از فیبروز در کبد است [۲۱]؛ برای مثال دانشمندی بنام کونگ (Kong) و همکارانش از Low-LDL (Low-Density Lipoproteins) رنگ‌آمیزی برای ارزیابی آثار نانو ذرات فاقد آپوپروتئین (Apoprotein) بر کبد استفاده کردند [۲۲]. این پژوهشگر با استفاده از این رنگ‌آمیزی توانست موفقیت استفاده از این ذرات را در درمان بروز فیبروز کبدی به اثبات برساند. اما مطالعات اولیه در مورد آثار نانو ذرات بر بافت بیضه بیشتر به مطالعه توزیع این نانو ذرات در این بافت اختصاص دارند و نشان داده شده که با وجود سد خون- بیضه نانو ذرات به دنبال تجویز در این بافت تجمع می‌یابند [۲۳]. در این پژوهش برای بررسی و مقایسه آسیب‌های بافتی ناشی از تجویز مزمن دو اندازه مختلف میکرو و نانو ذرات اکسید منگنز بر بافت‌های کبد، کلیه و بیضه موش سفید بزرگ، نانو ذرات (اندازه ۲۵ تا ۸۵ نانومتر) و میکرو ذرات (۳ میکرومتر) اکسید منگنز با غلظت ۱۰۰ میکروگرم/ کیلوگرم وزن بدن به مدت ۱۴ هفته هر دو هفته یکبار به صورت زیر جلدی به این موش‌ها تجویز شدند. این غلظت براساس مطالعات قبلی محققان پژوهش حاضر درباره آثار

آسیب‌های بافتی و نانوژرات اکسید منگنز

برای آزمایش‌های هیستوپاتولوژی (Histopathologic Tests) برای آزادی در حدود ۲۵ تا ۸۵ نانومتر بودند.

مراحل آماده‌سازی لام بافتی

ابتدا نمونه‌های بافتی به ترتیب در الکل‌هایی ۷۰ درصد، ۸۰ درصد، دو مرتبه الکل ۹۰ درصد و دو مرتبه الکل ۱۰۰ درصد هر کدام به مدت ۶۰ دقیقه قرار گرفتند. سپس بافت‌ها با قرار گرفتن در گزیلن شفاف شده و توسط پارافین قالب‌گیری شدند. برش‌هایی به ضخامت ۷ میکرومتر توسط دستگاه میکروتوم از بافت‌ها تهیه شد. سپس به منظور آب‌دهی برش‌ها به ترتیب به مدت ۱ دقیقه در محلول‌های الکل ۱۰۰ درصد تا ۵۰ درصد قرار گرفتند.

رنگ آمیزی H & E

برش‌های تهیه شده از این سه بافت توسط روش رنگ آمیزی H & E استاندارد به شرح زیر رنگ آمیزی واقع شد [۲۸]. برش‌ها به مدت ۱۰ دقیقه در هماتوکسیلین قرار داده شدند و پس از شستشو با آب به مدت ۱ ثانیه در الکل قرار گرفتند. سپس مجدد با آب شستشو داده شدند و به مدت ۲ دقیقه در اثوزین قرار گرفتند. پس از آن به منظور حذف مجدد آب، بافت‌ها به مدت ۱ دقیقه به ترتیب در الکل‌های ۵۰ درصد تا ۱۰۰ درصد قرار گرفتند و به منظور شفاف شدن، بافت‌ها به مدت ۵ دقیقه در گزیلن قرار داده شدند.

بررسی بافتی

از هر نمونه ۳ لام به طور تصادفی انتخاب شد و در هر لام به طور تصادفی ۵ منطقه توسط میکروسکوپ نوری انتخاب و با بزرگنمایی ۴۰۰ برابر از آن‌ها تصویر میکروسکوپی تهیه شد. برای تحلیل کمی بافت کلیه از رنگ آمیزی H&E استفاده شد و به این منظور هسته سلول‌های گلومرولی (Glomerular Cell) به نظر ریخت‌شناسی (Morphology) بررسی شده و نمونه همگی این اندام‌ها در داخل فرمالین ۱۰ درصد ثبیت و

روش ساخت نانو ذره اکسید منگنز

برای تهیه نانو ذره اکسید منگنز، ابتدا ۲۰ میلی‌لیتر KMnO₄ (۰/۲ میلی‌مولار) با ۱۶ میلی‌لیتر MnO₄ (۰/۱۲۵ میلی‌مولار) به مدت ۵ دقیقه با هم مخلوط شدند. مخلوط نهایی مستقیماً به داخل یک اتوکلاو استیل با پوشش تفلون منتقل و به مدت ۱۶ ساعت در دمای ۱۶۰ درجه سانتی‌گراد نگهداری شد و سپس محصول حاصل در دمای اتاق سرد شد. محصول قهقهه‌ای رنگ حاصل جمع‌آوری و با آب مقطّر و اتانول سه مرتبه شسته شد و توسط جریان هوا با دمای ۸۰ درجه سانتی‌گراد به مدت ۱۲ ساعت خشک شد [۲۷]. اندازه نانو ذرات حاصل به کمک میکروسکوپ الکترونی بین ۲۵ تا ۸۵ میکرومتر تعیین شد.

روش تهیه محلول سوسپانسیون تزریقی از نانو ذره و میکرو ذره اکسید منگنز

با توجه به میزان اندک حلالیت نانو و میکرو ذره اکسید منگنز در آب، برای تهیه محلول سوسپانسیون نانو یا میکرو ذرات ابتدا هر کدام از ذرات با غلاظت ۱۰۰ میکروگرم در میکرولیتر در سالین نرمال حل شدند. سوسپانسیون‌ها قبل از تزریق توسط سونیکاتور (Sonicator) به مدت ۳۰ دقیقه سونیکه و سپس به صورت زیر جلدی به موش‌ها تزریق شدند.

تشریح و نمونه‌برداری بافتی

هر دو هفته یکبار ۵ سر موش به صورت تصادفی از هر گروه انتخاب و توسط اتر بیهوده شدند. اندام‌های کبد، کلیه و بیضه موش‌ها پس از تشریح با دقت و ظرافت به کمک پنس و قیچی جراحی جدا و در سرم فیزیولوژی شسته شدند. این اندام‌ها از نظر وزن و از نظر ریخت‌شناسی (Morphology) بررسی شده و نمونه همگی این اندام‌ها در داخل فرمالین ۱۰ درصد ثبیت و

معنی داری $P < 0.05$ در نظر گرفته شد.

بزرگ و قطر کوچک گلومرول‌ها با استفاده از نرم‌افزار Image Tools 2 محاسبه شدند.

نتایج

موارد مورد بررسی رنگ‌آمیزی شده توسط H & E در نمونه‌های بافت کبدی موش‌ها در گروه‌های دریافت کننده ذرات و کنترل عبارت بودند از: آرایش سلول‌های بافت، وضعیت تریادهای (Triads) کبد، وضعیت سلول‌های کبدی، سینوزوییدها (Sinusoids) و بررسی عالیم تخریب بافتی، نکروز، تغییر در میزان تجمع چربی و فیبروز پروتال. بافت تهیه شده از کبد موش‌های کنترل دارای لوپول‌های کبدی کاملاً مشخص در اطراف یک ورید مرکزی بودند (شکل ۱). بافت کبدی در گروه‌های دریافت کننده هر دو ذره تغییرات چندی را تا قبل از هفته ششم بعد از تزریق در مقایسه با گروه کنترل نشان نداد. ارزیابی بافت‌های تهیه شده از کبد از هفته ششم در هر دو گروه دریافت کننده ذرات اکسید منگنز التهاب و پرخونی در ورید پروتال مرکزی را نشان داد که تعدادی از سلول‌ها به دلیل التهاب مزمن به درون این ورید نیز رانده شده بودند. تعدادی از سلول‌ها نیز شرایط نکروتیک از خود نشان دادند. در هفته دهم سلول‌های کبدی شروع به متفرق شدن کرده و نظم آن‌ها به هم ریخت و سلول‌های کبدی دچار تورم شدند و درون آن‌ها از ماده کدر و ابر مانندی پر شد. این شرایط در هفته دوازدهم و چهاردهم در هر دو گروه ادامه پیدا کرد و افزایشی در تعداد سلول‌های کوپفر (Kupffer Cells) کبدی نیز مشاهده شد. در سلول‌های کبدی دریافت کننده ذرات از هفته هشتم به بعد ضمن کاهش در اندازه و قطرشان مواردی چون استازیس (Stasis)، از دست رفتن هسته (Anisonucleosis)، چند هسته‌ای شدن (Multinucleation)، التهاب و آسیب به مجرای صفوراوی و شرایطی تحت عنوان واکنش مجرای (Ductular Reaction) به طور مشهود مشاهده شد (شکل ۱). رنگ‌آمیزی تری کروم در کبد وجود ذرات ظریف و شاخص کلائز در اطراف عروق وریدی به دنبال تجویز هر

روش رنگ‌آمیزی تری کروم ماسون

این رنگ‌آمیزی برای تشخیص افزایش کلائز و تعیین شدت فیبروز در بافت کبدی استفاده می‌شود [۲۹]. در این روش از سه رنگ به ترتیب برای رنگ‌آمیزی کلائز، سیتوپلاسم و هسته سلول استفاده شد. این روش شامل رنگ‌آمیزی پشت سرهم رنگ‌های زیر است: رنگ آهن هماتوکسیلین (Iron Hematoxylin) که هسته‌ها را مشکی می‌کند، رنگ Biebrich Scarlet که سیتوپلاسم Anilone Light را قرمز رنگ می‌کند و رنگ Aniline Blue یا Green که به ترتیب سبب آبی یا سبز رنگ شدن کلائز می‌شود.

روش رنگ‌آمیزی جونز

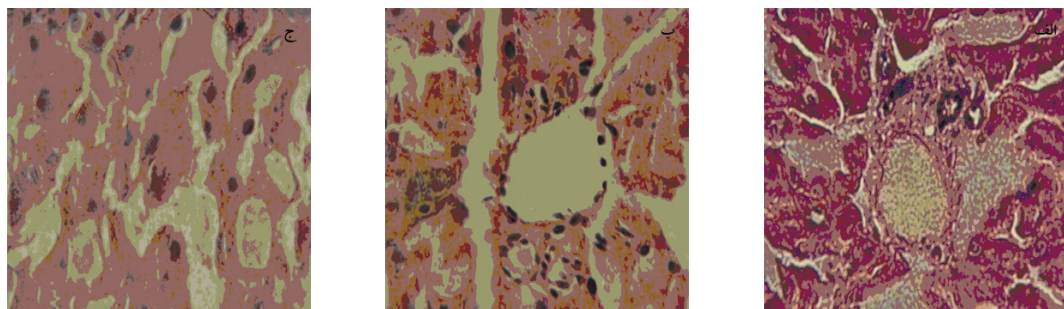
ابتدا برش‌های بافتی از بلوك‌های پارافینی کلیه تهیه شد. این برش‌ها پارافین‌زدایی و سپس توسط قرار گرفتن در غلاظت‌های کاهشی از الكل آبدهی شدند. برش‌ها به مدت ده دقیقه به محلول اسید پریودیک (Periodic Acid) 0.5 درصد منتقل و سپس شستشو داده شدند. برش‌ها سپس به محلول Methenamine Silver Solution منتقل و در دمای 70°C سانتی‌گراد به مدت یک ساعت قرار گرفتند. پس از شستشو به مدت یک دقیقه به محلول Gold Chloride منتقل شدند و در نهایت پس از شستشو، مجددأً توسط غلاظت‌های افزایش یابنده الكل آب‌گیری شدند.

تجزیه و تحلیل آماری داده‌ها

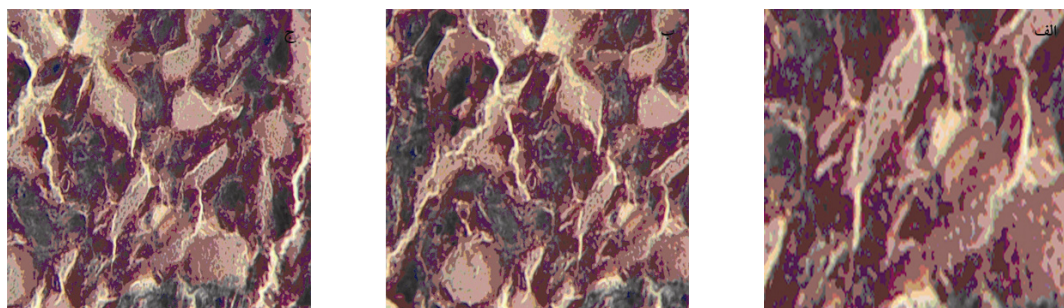
داده‌های بافت‌شناسی به صورت میانگین \pm انحراف استاندارد بیان شده‌اند. داده‌ها به وسیله نرم‌افزار آماری SPSS نسخه ۱۶ و آزمون آماری واریانس یک طرفه (One-Way ANOVA) بررسی شدند. مقایسه بین گروه‌ها با استفاده از آزمون توکی انجام شد و سطح

آسیب‌های بافتی و نانوذرات اکسید منگنز

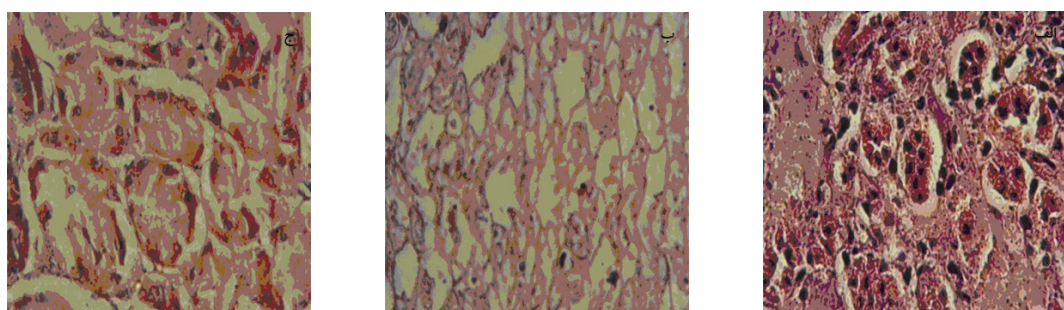
دو ذره اکسید منگنز را مشخص کرد (شکل ۲) و آثار تخریب در سلول‌های هپاتوسیت و کوپفر به وضوح مشاهده شد.



شکل ۱ تصویر میکروسکوپ نوری ($40\times$) رنگ‌آمیزی شده توسط E & H از برش‌های بافت کبدی در موش کنترل (الف)، دریافت کننده (۱۰۰۱میکروگرم/کیلوگرم) نانوذرات (ب) و میکروذرات (ج) اکسید منگنز در روزهای که آسیب‌های بافتی مشاهده شدند (جزئیات بیشتر در متن مقاله). تجمع توده‌های ابری شکل در سلول‌های بافت پارانشیم کبد در گروه دریافت کننده نانوذرات (ج) به خوبی مشاهده می‌شود.



شکل ۲ تصویر میکروسکوپ نوری ($40\times$) رنگ‌آمیزی شده به روش تری کروم ماسون از برش‌های بافت کبدی موش کنترل (الف) و موش‌های گروه دریافت کننده نانوذرات (ب) و میکروذرات (ج) اکسید منگنز (۱۰۰۱میکروگرم/کیلوگرم)؛ توده‌های ابری شکل در سیتوپلاسم هر دو گروه دریافت کننده اکسید منگنز مشاهده می‌شود.



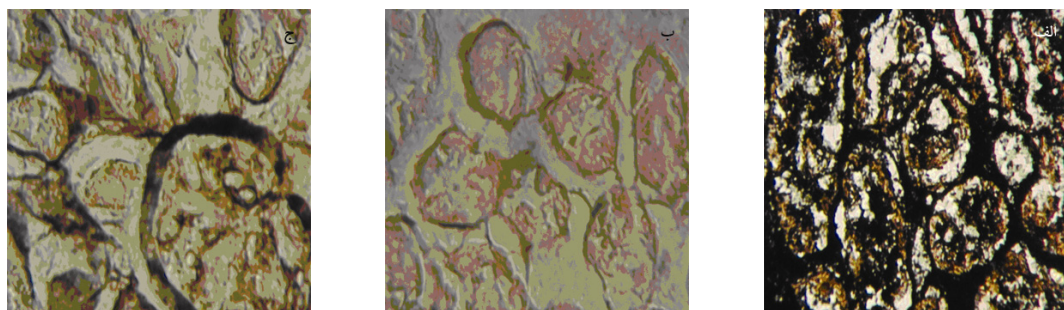
شکل ۳ تصویر میکروسکوپ نوری ($40\times$) تهیه شده از برش‌های بافت کلیوی رنگ‌آمیزی شده توسط E & H در موش کنترل (الف) و موش‌هایی که نانوذرات (ب) و میکروذرات (ج) اکسید منگنز (۱۰۰۱میکروگرم/کیلوگرم) را دریافت کرده‌اند. جزئیات بیشتر در ارتباط با هفته‌هایی که آسیب‌های کلیوی در آن مشاهده می‌شوند در متن مقاله

مشخص شد. کاهش در متوسط قطر گلومرول‌های کلیوی در گروه دریافت کننده نانوذرات نسبت به گروه کنترل و

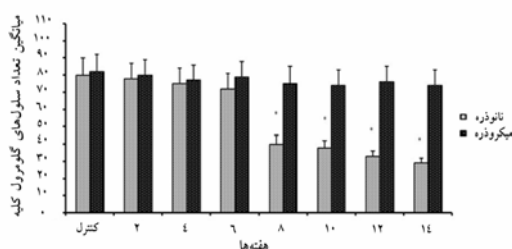
همچنین تغییرات ساختاری گستره‌های در بافت کلیه‌ها توسط رنگ‌آمیزی E & H (شکل ۳) و جونز (شکل ۴)

گروه دریافت کننده نانو ذرات از هفته هشتم به بعد به طور معنی دار ($P<0.05$) کاهش یافته و به ۶۰ میکرومتر رسیده است، در حالی که در گروه کنترل این لایه دارای ضخامتی حدود ۱۰۰ میکرومتر است. ضمن این که تعداد لوله های اسپرم ساز در واحد میلی متر مربع به طور معنی داری ($P<0.05$) کاهش نشان می دهد. تغییر شکل غیر طبیعی لوله های اسپرم ساز همراه با تخریب و پراکنده شدن سلول های اسپرم ساز در حیوانات تحت درمان با نانو ذره اکسید منگنز طی هفته های هشتم به بعد مشاهده شد. همچنین تعداد اسپرم های دارای ساختار غیر طبیعی در گروه نانو ذرات افزایش یافته و تعداد کل اسپرم ها در گروه های مورد تجویز کاهش نشان داد (شکل ۸). شکل ۹ تصویر نحوه اندازه گیری قطر گلومرول کلیه را نشان می دهد.

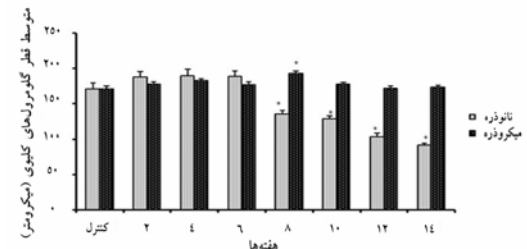
میکروذرات در هفته های ۸ تا ۱۴ و افزایش قطر گلومرول در هفته ۸ در گروه دریافت کننده میکرو ذرات اکسید منگنز نسبت به گروه های کنترل و نانو ذرات معنی دار ($P<0.05$) بود (شکل ۵). میانگین تعداد سلول های گلومرولی در گروه دریافت کننده نانو ذرات در مقایسه با کنترل در هفته های ۸ تا ۱۴ کاهش معنی دار ($P<0.05$) داشت (شکل ۶). همچنین مقایسه میانگین تعداد سلول های لوله پیچیده نزدیک بین گروه های دریافت کننده ذرات اکسید منگنز و کنترل تفاوت معنی دار ($P<0.05$) را از هفته ۸ تا ۱۴ پس از تزریق در گروه دریافت کننده نانو ذرات در مقایسه با کنترل و دریافت کننده میکرو ذرات نشان داد (شکل ۷). مشاهده برش های تهیه شده از بافت ییضه گویای این نکته است که ضخامت لایه ابی تلیوم لایه زاینده دیواره لوله های اسپرم ساز (Seminiferous Tubules) فقط در



شکل ۴ نمونه ای از تصویر میکروسکوب نوری (۴۰×) تهیه شده از برش های بافت کلیوی موش ها رنگ آمیزی شده به روش جونز در گروه کنترل (الف) در مقایسه با موش های دریافت کننده نانو ذرات (ب) و میکرو ذرات (ج) اکسید منگنز (۱۰۰ میکرو گرم / کیلو گرم)

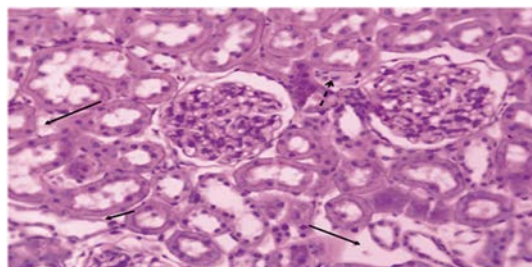


شکل ۶ مقایسه تعداد سلول های گلومرول کلیه ها بین گروه های کنترل و دریافت کننده نانو و میکرو ذرات اکسید منگنز (۱۰۰ میکرو گرم / کیلو گرم) هر دو هفته یکبار به مدت چهارده هفته ($*P<0.05$).

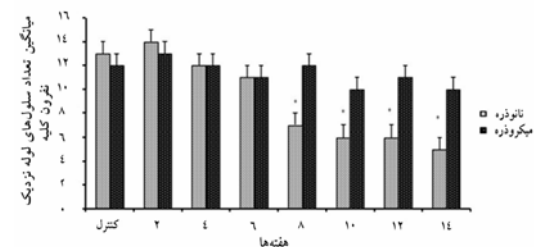


شکل ۵ مقایسه میانگین قطر گلومرول کلیه ها بین گروه های کنترل و دریافت کننده نانو و میکرو ذرات اکسید منگنز (۱۰۰ میکرو گرم / کیلو گرم) هر دو هفته یکبار به مدت چهارده هفته ($*P<0.05$).

آسیب‌های بافتی و نانوذرات اکسید منگنز



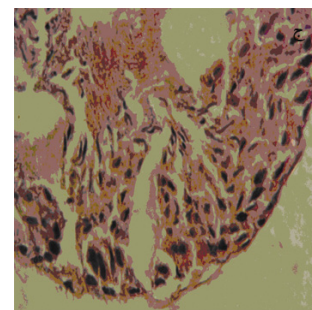
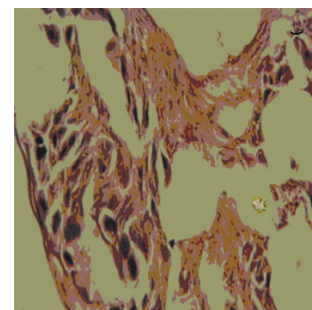
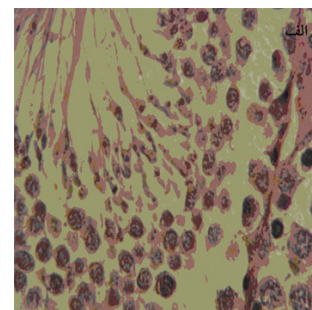
شکل ۹ تصویر میکروسکوپی ($\times 400$) بافت کلیه و فضای بینابینی توبول‌های کلیوی؛ نوک پیکان بلند محلی که در آن فضای بین توبول‌های کلیوی گروههای نانو ذره در مقایسه با کنترل افزایش یافته را به عنوان نشانه بروز ادم مشخص می‌کند. پیکان کوتاه نشان دهنده ارتضاح سلول‌های آماسی در بافت بینابینی است. پیکان کوتاه نشان دهنده تحلیل ارتفاع سلول‌های توبولی است.



شکل ۷ مقایسه تعداد سلول‌های لوله پیچیده نزدیک کلیه‌ها بین گروههای کنترل و دریافت کننده نانو و میکرو ذرات اکسید منگنز (100 میکروگرم / کیلوگرم) هر دو هفته یکبار به مدت چهارده هفته ($*P<0.05$).

بحث

یافته‌های بررسی حاضر بروز مشهود آسیب‌های کبدی را از هفته ششم پس از تزریق هر دو ذره اکسید منگنز را نشان می‌دهد. در تصاویر میکروسکوپی رنگ‌آمیزی شده با H & E توده‌های ابری شکلی در درون سلول‌های کبدی به دنبال تجویز مزمن نانو و میکرو ذرات مشاهده شد، قبلاً نیز پژوهشگران دیگری توده‌های ابری شکل در درون سلول‌های کبدی به دنبال تجویز نانو ذرات فلزی مانند نانو ذره طلا را گزارش کرده‌اند [۱۱]. این پژوهشگران با استناد به یافته‌های دانشمندی به نام دلمونته (Del Monte) و همکارانش در سال 2005 دلیل بروز چنین شرایطی را در سلول‌های کبدی اختلال در عملکرد غشا و ورود حجمی آب و یون سدیم به درون سلول ناشی از اثر ذرات نانو عنوان کرده‌اند [۳۰]. این تورم سلولی می‌تواند همراه با نشت آنزیم‌های هیدرولیز کننده لیزوزومی بوده و منجر به تخریب سیتوپلاسم و تولید ماکرومولکول‌های ابری شکل شود. گزارش شده است که اتم‌های فلزی چون آهن (Fe) و منگنز (Mn) که دارای بیش از یک حالت اکسیداسیون هستند مایل به شرکت در واکنش‌های اکسیداسیون و احیا هستند و تحت شرایط پرتوپلاسمی ممکن است باعث تولید رادیکال‌های آزاد اکسیژن شوند. در تأیید این مسئله نشان داده شده است که نانو اکسید آهن (Fe_3O_4) می‌تواند سبب بروز آسیب کبدی و



شکل ۸ تصویر میکروسکوپ نوری ($\times 400$) تهیه شده از بافت بیضه موش‌ها در گروه کنترل (الف) در مقایسه با همین بافت در موش‌های دریافت کننده نانوذرات (ب) و میکروذرات (ج) اکسید منگنز (100 میکروگرم / کیلوگرم وزن بدن)، رنگ‌آمیزی شده به روش H & E

حاضر تغییر در نواحی مختلف نفرون‌های کلیوی شامل گلومرول، لوله خمیده نزدیک به دنبال تماس مزمن با نانو ذرات اکسید منگنز را تأیید می‌کند. در تأیید این یافته‌ها می‌توان گفت که کبد و کلیه‌ها به عنوان دو اندام تجمع نانو ذرات شناخته شده‌اند [۳۷] و آسیب‌های التهابی در اندام‌های مختلف موش کوچک توسط روش بافت‌شناسی به دنبال تجویز نانو ذرات فلزی به صورت زیرجلدی، داخل صفاقی و داخل وریدی نشان داده شده است [۳۸]. دانشمندان دیگری نشان داده‌اند که تجویز نانو ذرات پلیمری به میزان ۲۰ تا ۱۰۰ میلی‌گرم/کیلوگرم به مدت ۲ هفته سبب می‌شود تا این نانو ذرات توسط سلول‌های کوپفر کبدی فاگوسیتوز شوند و به تدریج در کبد تجمع یابند و به واسطه افزایش تولید و رهایش میانجی‌های سایتوکاینی سبب بروز عالیم التهابی در این اندام شوند [۳۹]. لازم به ذکر است که دانشمندان مدعی شده‌اند که پیچیده‌ترین روش توزیع نانو ذرات در بدن به دنبال تجویز این ذرات به صورت زیرجلدی، یعنی به همان روشی که در این پژوهش به کار گرفته شده است [۴۰]. نتایج بررسی حاضر گویای کاهش تعداد و اندازه گلومرول‌های کلیوی در موش تحت تجویز با نانو ذرات اکسید منگنز بود. دانشمندان کاهش در تعداد و اندازه گلومرول‌های کلیوی را مهم‌ترین عامل خطر در بیماری‌های مزمن کلیوی می‌دانند که منجر به بروز بیماری‌های قلبی عروقی چون پرفساری خون می‌شود [۴۱]. این ویژگی نانو ذرات فلزی سبب شده است تا در عمل نیز پژوهشگران از این تعاملی زیاد نانو ذرات فلزی مانند نانو ذرات مغناطیسی اکسید آهن باردار برای اتصال به غشای پایه گلومرول‌های کلیوی برای تعیین تعداد و تغییر شکل و تخریب غشای پایه گلومرول‌های کلیه‌ها در پژوهش‌های علوم پایه استفاده کنند [۴۲].

یافته‌های این پژوهش دلالت بر تغییر در ساختار لوله‌های اسپرم ساز و کاهش لایه سلول‌های زاینده آن در هر دو گروه دریافت کننده میکرو و نانو ذرات اکسید منگنز دارد. مطالعات دیگری به دنبال تجویز حاد نانو ذرات نقره در موش‌های بزرگ نشان داده‌اند که تماس با این ذرات، وابسته به اندازه، دوز تجویز

کلیوی شود [۳۱]. البته آثار تخریبی ناشی از تجویز غلط مشابهی از نانو ذرات بر بافت کبدی و کلیوی در مقایسه با گروه دریافت کننده میکروذرات در این پژوهش شدیدتر به نظر می‌رسد و شدت این آسیب‌ها بر دو بافت با مرور زمان افزایش نیز می‌یابد. به عنوان یک مکانیسم پیشنهادی برای توجیه این مشاهدات می‌توان این نظریه را مطرح کرد که تخریب سیتوپلاسمی و هسته سلول‌های کبدی به دنبال تجویز این ذرات گویای این نکته است که این ذرات با پروتئین‌ها و آنزیم‌های بافت کبدی واکنش نشان داده و سبب اختلال در عملکردهای دفاعی علیه آنتی اکسیدان‌ها در این بافت‌ها شده و با تولید ترکیبات دارای اکسیژن فعال باعث آتروفی (Atrophy) و نکروز در این بافت‌ها شده‌است. البته یافته‌های این پژوهش در امتداد و تأیید کننده یافته‌های قبلی همین گروه تحقیقی در ارتباط با آثار سمی این ذرات بر عوامل عملکرد سرمی در بدن موش‌هایی است که در تماس با همین غلظت از این ذرات بوده‌اند [۲۴، ۲۵]. برخی دانشمندان دلایل دیگری را برای تغییرات مشاهده شده در سلول‌های کبدی مطرح می‌کنند؛ این دانشمندان معتقدند که به دنبال تماس ترکیبات آسیب‌رسان به این بافت فعالیت بیش از حد طبیعی سلول‌های کبدی برای متabolیزه کردن و بیرون ریختن این ترکیبات سمی از بدن طی مراحل سم‌زدایی سبب بروز این تغییرات در سلول‌های کبدی می‌شود [۳۲]. کلیه‌ها ۲۵ درصد از بروونده قلبی را دریافت می‌کنند و بنابراین بالاترین میزان خطر آسیب‌دیدگی را در مقابل نانو ذرات تجویز شده در بدن از خود نشان می‌دهند [۳۴، ۳۳]. آثار کشنده برخی از ترکیبات نانو نیز بر سلول‌های کلیوی و آثار التهاب‌زای آن‌ها بر این بافت قبلاً گزارش شده است [۳۵]. پژوهش‌ها نشان داده‌است که نانو ذراتی با ابعاد ۵۰ تا ۱۰۰ نانومتر می‌تواند سلول‌های مزانژیوم (Mesangium) کلیه‌ها را هدف قرار دهد. همچنین نشان داده شده است که تماس طولانی مدت نانو ذرات با کلیه‌ها نیز سبب چروکیده شدن سلول‌های این بافت به دلیل برداشت بیش از حد این نانو ذرات به درون این سلول‌ها می‌باشد [۳۶]. یافته‌های تحقیق

آسیب‌های بافتی و نانوذرات اکسید منگنز

آن در ریه نیز گزارش شده است [۴۶]. مولکول ICAM-1 (Intercellular Adhesion Molecule 1) در جذب و اتصال سلول‌های انتهابی به سلول‌های اندوتیلیا و اپی‌تیلیال دخالت داشته و نقش فرم محلول این مولکول که sICAM-1 (Soluble ICAM-1) نامیده می‌شود در ارتباط با بروز شرایط پاتوفیزیولوژیک در بافت‌ها نشان داده شده است [۴۷]. افزایش این ترکیب به دنبال تجویز زیر جلدی نانو ذره تیتانیوم دی اکسید به موش‌های کوچک [۴۸] و به دنبال تماس استنشاقی با نانو ذرات سلیکا به صورت برون‌تنی نشان داده شده است [۴۹]. این مکانیسم هم می‌تواند سومین گزینه پیشنهادی برای آثار مشاهده شده از این ذرات در بافت‌های مورد مطالعه در این پژوهش باشد. با توجه به ثابت بودن دوز تجویز میکرو و نانو ذرات اکسید منگنز در این پژوهش به عنوان یک مقایسه می‌توان گفت که کاهش اندازه این ذرات سبب تشدييد آسیب‌های ناشی از تماس مزمن آن‌ها بر بافت کبدی و کلیوی شده و به دليل توان بیشتر عبور نانو ذرات از سد خون-بیضه این ذرات سبب وارد آمدن جراحت شدیدتری بر این بافت شده‌اند.

تشکر و قدردانی

بدین‌وسیله از زحمات اساتید معظم جناب آقای دکتر محمد جلالی ندوشن، جناب آقای دکتر دلشاد و سرکار خانم دکتر زهره مظاہری که در طول اجرای این پایان‌نامه صمیمانه ما را یاری فرمودند تقدیر و تشکر می‌شود.

شده و مدت زمان تماس با این ذرات می‌تواند باعث تغییر در ابعاد و شکل لوله‌های اسپرمه‌ساز بیضه‌ها در موش‌های بزرگ آزمایشگاهی شود [۴۳]. به تازگی بررسی نانو ذرات فلزی کروم-کبالت (Cobalt-Chromium) نشان داد که این نانو ذرات دارای آثار نامطلوبی بر عملکرد سیستم تولید مثلی در موش‌های نر به دلیل خاصیت شدید آنتی اکسیدانی هستند [۲۰]. البته در ارتباط با نانو ذرات اکسید منگنز مطالعات بروون‌تنی روی سلول‌ای Pcl2 نیز نشان داده است که تولید انواع گونه‌های اکسیژن فعال در این سلول‌ها به دنبال تماس با این نانو ذرات با ابعاد ۴۰ نانومتر افزایش یافته و سبب تخریب دوپامین (Dopamine)، دی‌هیدروکسی فنیلاکتیک اسید (Dihydroxyphenylacetic Acid) در این سلول‌ها و همو‌وانیلیک اسید (Homovanillic Acid) می‌شود [۴۴]. اغلب مطالعاتی که به بررسی آثار آسیب‌رسان اکسیدهای فلزی به خصوص در ابعاد نانو پرداخته‌اند این آثار را ناشی از افزایش تولید ترکیبات فعال اکسیژن‌دار می‌دانند. این پدیده می‌تواند به عنوان یکی از مکانیسم‌های پیشنهادی برای آثار آسیب‌رسان این ذرات بر بافت بیضه و دو بافت دیگر مطرح شود. در ارتباط با نانو ذرات فلزی دیگری مثل نانو ذره نقره نشان داده است که این نانو ذرات می‌توانند سبب تنظیم افزایشی گیرنده ایترولوکین یک در سلول‌ها و در نتیجه سبب برانگیخته شدن فرآیندهای التهابی و آسیب به سدهای خونی شوند. این امر می‌تواند توجیه کننده یافته‌های پژوهش حاضر در ارتباط با بروز آسیب در بافت بیضه با وجود سد خون-بیضه به دنبال تجویز هر دو ذره اکسید منگنز باشد [۴۵]. ضمن این که به دنبال تجویز استنشاقی این نانو ذره آثار التهابی

منابع

- [1] Kipen HM, Laskin DL. Smaller is not always better: nanotechnology yields nanotoxicology. *Am J Physiol Lung Cell Mol Physiol* 2005; 289(5): L696-7.
- [2] Appenroth KJ. Definition of “heavy metals” and their role in biological systems. In: Sherameti I,
- [3] Pujalté I, Passagne I, Brouillaud B, Tréguer M, Durand E, Ohayon-Courtès C, L'Azou B. Cytotoxicity and oxidative stress induced by different metallic nanoparticles on human

- kidney cells. Part Fibre Toxicol 2011; 8: 10.
- [4] Oberdörster G, Ferin J, Lehnert BE. Correlation between particle size, in vivo particle persistence, and lung injury. Environ Health Perspect 1994; 102(Suppl 5):173-9.
- [5] Johnston HJ, Hutchison G, Christensen FM, Peters S, Hankin S, Stone V. A review of the in vivo and in vitro toxicity of silver and gold particulates: particle attributes and biological mechanisms responsible for the observed toxicity. Crit Rev Toxicol 2010; 40(4): 328-46.
- [6] Hirn S, Semmler-Behnke M, Schleh C, Wenk A, Lipka J, Schäffler M, Takenaka S, Möller W, Schmid G, Simon U, Kreyling WG. Particle size-dependent and surface charge-dependent biodistribution of gold nanoparticles after intravenous administration. Eur J Pharm Biopharm 2011; 77(3): 407-16.
- [7] Choi HS, Liu W, Misra P, Tanaka E, Zimmer JP, Itty Ipe B, Bawendi MG, Frangioni JV. Renal clearance of quantum dots. Nat Biotechnol 2007; 25(10): 1165-70.
- [8] Lewinski N, Colvin V, Drezek R. Cytotoxicity of nanoparticles. Small 2008; 4(1): 26-49.
- [9] Chen Z, Meng H, Xing G, Chen C, Zhao Y, Jia G, Wang T, Yuan H, Ye C, Zhao F, Chai Z, Zhu C, Fang X, Ma B, Wan L. Acute toxicological effects of copper nanoparticles in vivo. Toxicol Lett 2006; 163(2): 109-20.
- [10] Wang J, Zhou G, Chen C, Yu H, Wang T, Ma Y, Jia G, Gao Y, Li B, Sun J, Li Y, Jiao F, Zhao Y, Chai Z. Acute toxicity and biodistribution of different sized titanium dioxide particles in mice after oral administration. Toxicol Lett 2007; 168(2): 176-85.
- [11] Abdelhalim MA, Jarrar BM. Histological alterations in the liver of rats induced by different gold nanoparticle sizes, doses and exposure duration. J Nanobiotechnology 2012; 10: 5.
- [12] Geraets L, Oomen AG, Schroeter JD, Coleman VA, Cassee FR. Tissue distribution of inhaled micro- and nano-sized cerium oxide particles in rats: results from a 28-day exposure study. Toxicol Sci 2012; 127(2): 463-73.
- [13] De Jong WH, Borm PJ. Drug delivery and nanoparticles: applications and hazards. Int J Nanomedicine 2008; 3(2): 133-49.
- [14] Li C, Taneda S, Taya K, Watanabe G, Li X, Fujitani Y, Nakajima T, Suzuki AK. Effects of in utero exposure to nanoparticle-rich diesel exhaust on testicular function in immature male rats. Toxicol Lett 2009; 185(1): 1-8.
- [15] Yauk C, Polyzos A, Rowan-Carroll A, Somers CM, Godschalk RW, Van Schooten FJ, Berndt ML, Pogribny IP, Koturbash I, Williams A, Douglas GR, Kovalchuk O. Germ-line mutations, DNA damage, and global hypermethylation in mice exposed to particulate air pollution in an urban/industrial location. Proc Natl Acad Sci U S A 2008; 105(2): 605-10.
- [16] Roels HA, Ghyselen P, Buchet JP, Ceulemans E, Lauwers RR. Assessment of the permissible exposure level to manganese in workers exposed to manganese dioxide dust. Br J Ind Med 1992; 49(1): 25-34.
- [17] Hobbesland A, Kjuus H, Thelle DS. Study of cancer incidence among 6363 male workers in four Norwegian ferromanganese and silicomanganese producing plants. Occup

آسیب‌های بافتی و نانوپرات اکسید منکنز

- Environ Med 1999; 56(9): 618-24.
- [18] Mohammadi Farkhooni F, Noori A, Momayez M, Sadeghi L, Shirani K, Yousefi Babadi V. The effects of nano titanium dioxide (TiO₂) in spermatogenesis in wistar rat. Euro J Exp Bio 2013; 3(4): 145-9.
- [19] Al Faraj A, Fauvelle F, Luciani N, Lacroix G, Levy M, Crémillieux Y, Canet-Soulas E. In vivo biodistribution and biological impact of injected carbon nanotubes using magnetic resonance techniques. Int J Nanomedicine 2011; 6: 351-61.
- [20] Wang Z, Chen Z, Zuo Q, Song F, Wu D, Cheng W, Fan W. Reproductive toxicity in adult male rats following intra-articular injection of cobalt-chromium nanoparticles. J Orthop Sci 2013; 18(6): 1020-6.
- [21] Ha Y, Shin JS, Lee DY, Rhim T. Fluorescently Labeled Nanoparticles Enable the Detection of Stem Cell-Derived Hepatocytes. Bull Korean Chem Soc 2012; 33(6): 1983-8.
- [22] Kong WH, Park K, Lee MY, Lee H, Sung DK, Hahn SK. Cationic solid lipid nanoparticles derived from apolipoprotein-free LDLs for target specific systemic treatment of liver fibrosis. Biomaterials 2013; 34(2): 542-51.
- [23] Kim JS, Yoon TJ, Yu KN, Kim BG, Park SJ, Kim HW, Lee KH, Park SB, Lee JK, Cho MH. Toxicity and tissue distribution of magnetic nanoparticles in mice. Toxicol Sci 2006; 89(1): 338-47.
- [24] Nosrati N, Hassanpour-Ezzati M, Mousavi SZ, Rahmanifar MS, Rezagholiyan S. Comparison of MnO₂ nanoparticles and microparticles distribution in CNS and muscle and effect on acute pain threshold in rats. Nanomed J 2013; 1(3):180-90.
- [25] Rezagolian S, Hassanpour-Ezzati M, Mousavi SZ, Rahmanifar MS, Nosrati N. Comparison of chronic administration of manganese oxide micro and nanoparticles on liver function parameters in male rats. Daneshvar Med 2013; 20(106): 1-13.
- [26] Geiser M, Kreyling WG. Deposition and biokinetics of inhaled nanoparticles. Part Fibre Toxicol 2010; 7: 2.
- [27] Zhang Y, Yang Y, Zhang Y, Zhang T, Ye M. Heterogeneous oxidation of naproxen in the presence of α -MnO₂ nanostructures with different morphologies. Appl Catal B Environ 2012; 127: 182-9.
- [28] Pearse AE. Histochemistry. Theoretical and applied. Analytical technology. 4th ed, Edinburgh: Churchill-Livingstone, 1985; p: 441-1055.
- [29] Escobedo G, Arjona-Román JL, Meléndez-Pérez R, Suárez-Álvarez K, Guzmán C, Aguirre-García J, Gutiérrez-Reyes G, Vivas O, Varela-Fascinetto G, Rodríguez-Romero A, Robles-Díaz G, Kershenobich D. Liver exhibits thermal variations according to the stage of fibrosis progression: A novel use of modulated-differential scanning calorimetry for research in hepatology. Hepatol Res 2013; 43(7): 785-94.
- [30] Del Monte U. Swelling of hepatocytes injured by oxidative stress suggests pathological changes related to macromolecular crowding. Med Hypotheses 2005; 64(4): 818-25.
- [31] Ma P, Luo Q, Chen J, Gan Y, Du J, Ding S, Xi Z, Yang X. Intraperitoneal injection of magnetic Fe₃O₄-nanoparticle induces hepatic and renal tissue injury via oxidative stress in

- mice. *Int J Nanomedicine* 2012; 7: 4809-18.
- [32] Patel JM, Bahadur A. Histopathological Manifestations of Sub Lethal Toxicity of Copper Ions in *Catla catla*. *Am Euras J Toxicol Sci* 2011; 3(1): 1-5.
- [33] Nel A, Xia T, Mädler L, Li N. Toxic potential of materials at the nanolevel. *Science* 2006; 311(5761): 622-7.
- [34] Deelman LE, Declèves AE, Rychak JJ, Sharma K. Targeted renal therapies through microbubbles and ultrasound. *Adv Drug Deliv Rev* 2010; 62(14): 1369-77.
- [35] Wu J, Nyborg WL. Ultrasound, cavitation bubbles and their interaction with cells. *Adv Drug Deliv Rev* 2008; 60(10): 1103-16.
- [36] L'azou B, Jorly J, On D, Sellier E, Moisan F, Fleury-Feith J, Cambar J, Brochard P, Ohayon-Courtès C. In vitro effects of nanoparticles on renal cells. *Part Fibre Toxicol* 2008; 5: 22.
- [37] Choi CH, Zuckerman JE, Webster P, Davis ME. Targeting kidney mesangium by nanoparticles of defined size. *Proc Natl Acad Sci U S A* 2011; 108(16): 6656-61.
- [38] Flesken-Nikitin A, Toshkov I, Naskar J, Tyner KM, Williams RM, Zipfel WR, Giannelis EP, Nikitin AY. Toxicity and biomedical imaging of layered nanohybrids in the mouse. *Toxicol Pathol* 2007; 35(6): 806-12.
- [39] Fernández-Urrusuno R, Fattal E, Féger J, Couvreur P, Thérond P. Evaluation of hepatic antioxidant systems after intravenous administration of polymeric nanoparticles. *Biomaterials* 1997; 18(6): 511-7.
- [40] Thanos C, Sandor M, Jong Y, Jacob J, Yip KP, Harper J, Morrell C, Scherer J and Mathiowitz E. Inter-species uptake of polymeric particles. *Mater Res Proc* 1998; 550: 65-70.
- [41] Brenner BM, Garcia DL, Anderson S. Glomeruli and blood pressure. Less of one, more the other? *Am J Hypertens* 1988; 1(4 Pt 1): 335-47.
- [42] Bennett KM, Zhou H, Sumner JP, Dodd SJ, Bouraoud N, Doi K, Star RA, Koretsky AP. MRI of the basement membrane using charged nanoparticles as contrast agents. *Magn Reson Med* 2008; 60(3): 564-74.
- [43] Gromadzka-Ostrowska J, Dziendzikowska K, Lankoff A, Dobrzańska M, Instanes C, Brunborg G, Gajowik A, Radzikowska J, Wojewódzka M, Kruszewski M. Silver nanoparticles effects on epididymal sperm in rats. *Toxicol Lett* 2012; 214(3): 251-8.
- [44] Pisanic TR 2nd, Blackwell JD, Shubayev VI, Fiñones RR, Jin S. Nanotoxicity of iron oxide nanoparticle internalization in growing neurons. *Biomaterials* 2007; 28(16): 2572-81.
- [45] Trickler WJ, Lantz SM, Murdock RC, Schrand AM, Robinson BL, Newport GD, Schlager JJ, Oldenburg SJ, Paule MG, Slikker W Jr, Hussain SM, Ali SF. Silver nanoparticle induced blood-brain barrier inflammation and increased permeability in primary rat brain microvessel endothelial cells. *Toxicol Sci* 2010; 118(1): 160-70.
- [46] Yazdi AS, Guarda G, Riteau N, Drexler SK, Tardivel A, Couillin I, Tschoopp J. Nanoparticles activate the NLR pyrin domain containing 3 (Nlrp3) inflammasome and cause pulmonary inflammation through release of IL-1 α and IL-1 β . *Proc Natl Acad Sci U S A* 2010; 107(45): 19449-54.

آسیب‌های بافتی و نانوذرات اکسید منکنز

- [47] Gearing AJ, Hemingway I, Pigott R, Hughes J, Rees AJ, Cashman SJ. Soluble forms of vascular adhesion molecules, E-selectin, ICAM-1, and VCAM-1: pathological significance. Ann N Y Acad Sci 1992; 667: 324-31.
- [48] Gonçalves DM, Girard D. Titanium dioxide (TiO_2) nanoparticles induce neutrophil influx and local production of several pro-inflammatory mediators *in vivo*. Int Immunopharmacol 2011; 11(8): 1109-15.
- [49] Kasper J, Hermanns MI, Bantz C, Maskos M, Stauber R, Pohl C, Unger RE, Kirkpatrick JC. Inflammatory and cytotoxic responses of an alveolar-capillary coculture model to silica nanoparticles: comparison with conventional monocultures. Part Fibre Toxicol 2011; 8(1): 6.